



---

# Interprétation d'images II

## *Reconnaissance structurelle de formes/objets*

Luc Brun

# Scènes et objets



- Description d'une scène par :
  - des objets
    - points,
    - segments,
    - régions
  - des relations entre ces objets
    - plus proches voisins de points, . . . ,
    - intersections de segments. . . ,
    - adjacences (resp. k-adjacence) de régions. . .
- Buts :
  - associer une scène à un modèle,
  - une partie d'une scène à un modèle,
  - classer des scènes par leur contenu

⋮

# De la scène au grahe



- $G=(V,E)$ 
  - $V$  ensemble des sommets : ensemble des objets,
  - $E$  ensemble des arêtes : ensemble des relations entre ces arêtes.
- $G = (V, E)$  un graphe décrivant une scène
  - issue d'une segmentation,
  - extraction de lignes, de points...  
de l'image.
- $G' = (V', E')$  un graphe décrivant un modèle
  - objet moyen d'une classe,
  - objet théorique parfait ou connu (précédente acquisition).
- Questions :
  - $G, G'$  peuvent ils décrire le même objet ?
  - $G$  décrit il une partie de  $G'$  ?

# Classification en termes de graphes (1/5)



- Soient  $X$  et  $Y$  les objets (resp. scènes), on cherche à savoir si

$$X \cong Y \text{ ou } X \subseteq Y.$$

- L'isomorphisme de graphe  $G = (V, E), G' = (V', E')$  ( $X \cong Y$ )

- $|V| = |V'|$  et

- il existe  $\phi : V \rightarrow V'$  bijective tel que :

$$(v_1, v_2) \in E \Leftrightarrow (\phi(v_1), \phi(v_2)) \in E'$$

- L'isomorphisme partiel de sous graphes ( $X \subseteq Y$ )

- $|V| \leq |V'|$  et

- il existe  $\phi : V \rightarrow V'$  injective tel que :

$$(v_1, v_2) \in E \Rightarrow (\phi(v_1), \phi(v_2)) \in E'$$

# Classification en termes de graphes (2/5)



- L'isomorphisme de sous graphe
  - idem que isomorphisme partiel de sous graphe avec en plus :

$$\forall (v_1, v_2) \in V^2 \quad (v_1, v_2) \notin E \Rightarrow (\phi(v_1), \phi(v_2)) \notin E'$$

on a donc :

$$(\phi(v_1), \phi(v_2)) \in E' \Rightarrow (v_1, v_2) \in E$$

# Classification en termes de graphes (3/5)



- Soient  $X$  (image) et  $Y$  (modèle), on veut savoir si, il existe  $Z$  tel que :

$$Z \subseteq X \text{ et } Z \subseteq Y$$

- Sous graphe partiel commun de taille maximum (mcps).
  - graphe de taille maximum (en nombre de noeuds), sous graphe partiel de  $G$  et  $G'$ .
- Sous graphe commun de taille maximum (mcs)
  - idem que mcps mais isomorphisme de sous graphe au lieu d'isomorphisme partiel de sous graphes.

# Classification en termes de graphes (4/5)



- Sous graphe (partiel) commun maximum ou maximal ?
  - Étant donné un sous graphe (partiel) commun de  $G$  et  $G'$ , celui-ci est dit **maximal**, si on ne peut plus y ajouter de sommet sans briser les isomorphismes.
  - Un sous graphe est dit **maximum** si tout sous graphe (partiel) commun de  $G$  et  $G'$  à un cardinal (nombre de noeuds) inférieur.

# Classification en termes de graphes (5/5)



## ■ L'appariement non bijectif :

■ Trouver  $\phi : V' \rightarrow \mathcal{P}(V)$  qui associe à chaque sommet du graphe modèle  $v' \in V'$  un ensemble de sommets du graphe scène et tel que :

1. chaque sommet de  $V$  est associé à exactement 1 sommet de  $V'$ .
2.  $v \in \phi(v')$  ssi cet appariement est vraisemblable (en terme de similarité).
3. chaque sous graphe de  $G$  induit par  $\phi(v'), v' \in V'$  est connexe.
4. pour tout  $v' \in V', |\phi(v')| \geq 1$ .

Applications aux images sur segmentées.

⚠ fondamental en terme d'applications.



# Généralisations (1/2)



- Distances de graphes par édition (ged)
  - On définit un ensemble d'opérations permettant de passer de  $G$  à  $G'$  (ou vice versa).
    - insertion de sommet et d'arêtes,
    - substitution de label de sommets et d'arêtes,
    - suppression de sommets et d'arêtes.
  - Chaque opération est évaluée par un coût.
  - le ged est la suite d'opérations de coût minimal.

Distance  $\rightarrow$  métrique  $\rightarrow$  (médián, clustering...)

# Généralisations (2/2)



- Distance de graphes par édition étendue
  - On ajoute les deux opérations :
    - Découpe( $v$ )  $\rightarrow (v_1, \dots, v_n)$
    - Fusionne( $v_1, \dots, v_n$ )  $\rightarrow v$

Permet de traiter les images sur/sous segmentées.

# Isomorphismes de Graphes et de sous graphes



- Isomorphisme de graphes ou de sous graphes :
  - Problème NP complet
- Heuristiques pour obtenir des solutions (éventuellement) sous optimales.
- Deux approches :
  - approche symbolique ou algorithmique :
    - Définir un algorithme qui effectue une recherche dans l'espace des solutions en rejetant à priori certaines solutions.
      - Bon contrôle sur la solution.
  - approche numérique :
    - Définir le problème en terme de minimisation/maximisation d'une fonction/énergie.
      - Utilisation de tout l'arsenal des méthodes de minimisation.

# Principaux acteurs

---



- Approches Algorithmiques

- Horst Bunke (Suisse),
- Marcello Pellilo (Italie),
- Mario Vento (Italie).

⋮

- Approches numériques

- Edwin Hancock (UK),
- Kittler (UK),
- Sven Dickinson (Canada),

⋮

# Approches Algorithmiques : Bunke/Ullman



## ■ Définitions :

■ Un **graphe labélisé** :  $G = (V, E, \mu, \nu, L_v, L_e)$

$$\begin{cases} \mu : V \rightarrow L_v & \text{fonction de label des sommets} \\ \nu : E \rightarrow L_e & \text{fonction de label des arêtes} \end{cases}$$

■ Un **sous graphe labélisé**  $G_s = (V_s, E_s, \mu_s, \nu_s, L_v, L_e)$  de  $G = (V, E, \mu, \nu, L_v, L_e)$ .

■  $\mu_s$  et  $\nu_s$  restriction de  $\mu$  et  $\nu$  à  $V_s \subset V$  et  $E_s \subset E$  (avec  $E_s = E \cap V_s \times V_s$ ).

# Bunke/Ullman : Definitions



■ La **matrice d'adjacence**  $M = (m_{i,j})$  d'un graphe  $G = (V, E, \mu, \nu, L_v, L_e)$  est définie par :

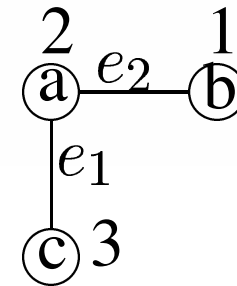
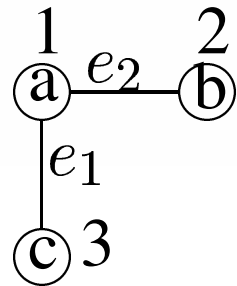
1.  $\forall i \in \{1, \dots, n\} m_{i,i} = \mu(v_i)$
2.  $\forall (i, j) \in \{1, \dots, n\}^2, i \neq j$

$$m_{i,j} = \begin{cases} \nu((v_i, v_j)) & \text{si } (v_i, v_j) \in E \\ 0 & \text{sinon} \end{cases}$$

■ Une **matrice de permutation**  $n \times n$ ,  $P = (p_{i,j})$  vérifie :

1.  $\forall (i, j) \in \{1, \dots, n\}^2 p_{i,j} \in \{0, 1\}$ ,
2.  $\forall j \in \{1, \dots, n\} \sum_{i=0}^n p_{i,j} = 1$ ,
3.  $\forall i \in \{1, \dots, n\} \sum_{j=0}^n p_{i,j} = 1$ .

# Matrices d'adjacences, permutations : Exemple



ou

$$M = \begin{matrix} & \begin{matrix} 1 & 2 & 3 \end{matrix} \\ \begin{matrix} 1 \\ 2 \\ 3 \end{matrix} & \begin{pmatrix} a & e_2 & e_1 \\ e_2 & b & 0 \\ e_1 & 0 & c \end{pmatrix} \end{matrix}, \quad P = \begin{matrix} & \begin{matrix} 1 & 2 & 3 \end{matrix} \\ \begin{matrix} 1 \\ 2 \\ 3 \end{matrix} & \begin{pmatrix} 0 & 1 & 0 \\ 1 & 0 & 0 \\ 0 & 0 & 1 \end{pmatrix} \end{matrix}$$

$$M' = PMP^t = \begin{matrix} & \begin{matrix} 1 & 2 & 3 \end{matrix} \\ \begin{matrix} 1 \\ 2 \\ 3 \end{matrix} & \begin{pmatrix} b & e_2 & e_1 \\ e_2 & a & 0 \\ e_1 & 0 & c \end{pmatrix} \end{matrix}$$

# Bunke/Ullman : Definitions



- Deux graphes  $G_1$  et  $G_2$  de matrices  $M_1$  et  $M_2$  sont dis **isomorphes** ssi il existe  $P$  matrice de permutation telle que :

$$M_2 = PM_1P^t$$

- Il existe un isomorphisme de sous graphe entre  $G_1$  et  $G_2$  ssi il existe  $S \subset G_2$  tel que  $G_1$  et  $S$  sont isomorphe ( $S = (S, E \cap S \times S, \mu|_S, \nu|_S, L_v, L_e)$ ).
- Soit  $M = (m_{i,j})$  une  $n \times n$  matrice d'adjacence.

$$\forall (k, m) \in \{1, \dots, n\}^2 \quad S_{k,m}(M) = (m_{i,j})_{i \in \{1, \dots, k\}, j \in \{1, \dots, m\}}$$

- $S_{k,k}(M)$  matrice d'adjacence du sous graphe restreint aux  $k$  premiers sommets.



# Bunke/Ullman : Isomorphismes de sous graphes



■ Soient  $G_1$  et  $G_2$  de matrices d'adjacences  $M_1$  et  $M_2$

■  $M_1 : m \times m$ ,

■  $M_2 : n \times n$  avec  $m \leq n$ .

Il existe un isomorphisme de sous graphe entre  $G_1$  et  $G_2$  ssi il existe une matrice de permutation  $n \times n$   $P$  telle que :

$$M_1 = S_{m,m}(PM_2P^t)$$

■ Remarque 1 :

$$M_1 = S_{m,m}(PM_2P^t) = S_{m,n}(P)M_2(S_{m,n}(P))^t$$

# Ullman : L'algorithm (1976)



- Remarque 2 : si pour  $i \leq m \leq n$

$$S_{i,i}(M_1) = S_{i,i}(PM_2P^t) = S_{i,n}(P)M_2(S_{i,n}(P))^t$$

$S_{i,n}(P)$  représente un appariement partiel entre les  $i$  premiers sommets de  $G_1$  et les sommets de  $G_2$ .

- L'algorithm

**procédure** Ullman ( $G_1, G_2$ )

**Déclaration**

$P = (p_{i,j})$  matrice  $n \times n$  de permutation,

$m = |V_1|, n = |V_2|,$

$M_1, M_2$  matrices d'adjacences

**début**

**retourner** backtrack( $M_1, M_2, P, 1$ )

**fin**

# Ullman : Backtrack



**procédure** backtrack ( $M_1, M_2, P, k$ )

**début**

**si**  $k > m$  **alors**

*Remarque :  $P$  est un isomorphisme de sous graphe.*

**retourner**  $P$

**finsi**

**pour**  $i \leftarrow 1$  **à**  $n$  **faire**

$p_{k,i} \leftarrow 1$

$\forall j \neq i \ p_{k,j} \leftarrow 0$

**finpour**

**si**  $S_{k,k}(M_1) = S_{k,n}(P)M_2S_{k,n}(P)^t$  **alors**

backtrack( $M_1, M_2, P, k + 1$ )

**finsi**

**fin**

# Ullman : Discussion



- Permet de tester les isomorphismes de sous graphes,
- Si  $m = n$ , on teste les isomorphismes de graphes,
- Le choix de  $i$  peut être contraint, par exemple en s'assurant que :

$$\forall j \in \{1, \dots, k\} p_{j,i} = 0$$

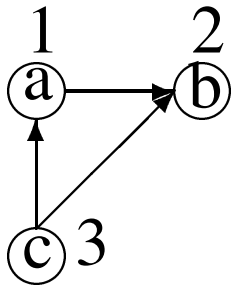
# Extension par Bunke



- Comparer un graphe  $G$  à une base de donnée de modèles  $\{G_1, \dots, G_n\}$ .
- Problème de Ullman :  $n$  tests d'isomorphismes !
- Solution : faire des pré calculs (ne marche que pour des graphes de tailles réduites).



- Étant donné une matrice  $M_i$  de  $G_i$  calculer l'ensemble  $A(G_i)$  des graphes isomorphes à  $G_i$  :



	1	2	3
b	1	1	
0	a	1	
0	0	a	

A

	1	3	2
b	1	1	
0	a	0	
0	1	a	

B

	2	1	3
a	0	1	
1	b	1	
0	1	a	

C

	2	3	1
a	1	0	
0	a	0	
1	1	a	

D

	3	1	2
a	0	0	
1	b	1	
1	0	a	

E

	3	2	1
a	0	0	
1	a	0	
1	1	b	

F



- **Avantage :**
  - Tester si  $G$  est isomorphe à  $G_i$  revient à tester si  $M \in A(G_i)$ .
- **Inconvénient :**
  - On est toujours linéaire en nombre de modèles,
  - Problème de l'isomorphisme de sous graphe.



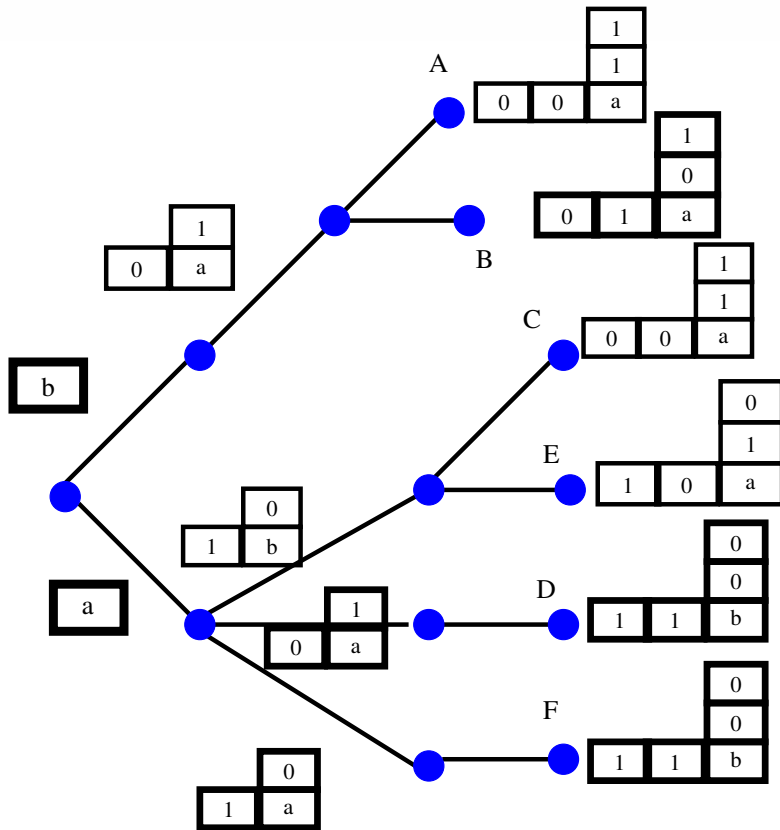
- Décomposer une matrice en vecteurs :

$$\begin{array}{|c|c|c|} \hline & 1 & 2 & 3 \\ \hline b & 1 & 1 \\ \hline 0 & a & 1 \\ \hline 0 & 0 & a \\ \hline \end{array} = \begin{array}{c} a_1 \\ \boxed{b} \end{array} \begin{array}{c} a_2 \\ \begin{array}{|c|c|} \hline & 1 \\ \hline 0 & a \\ \hline \end{array} \end{array} \begin{array}{c} a_3 \\ \begin{array}{|c|c|c|} \hline & & 1 \\ \hline & & 1 \\ \hline 0 & 0 & a \\ \hline \end{array} \end{array}$$
$$\left\{ \begin{array}{l} a_1 = (b) \\ a_2 = (1, a, 0) \\ a_3 = (1, 1, a, 0, 0) \end{array} \right.$$





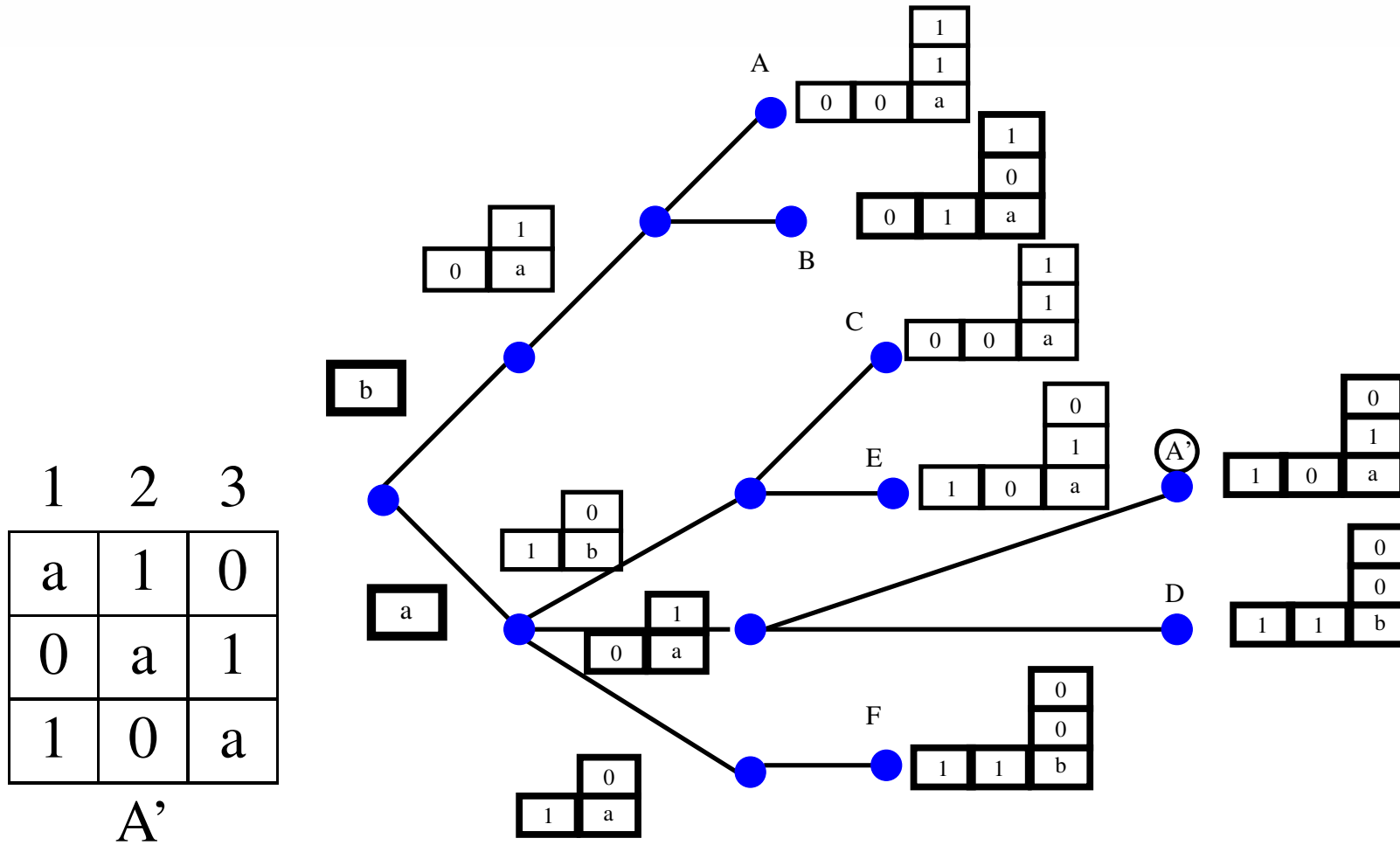
## ■ Construire un arbre de recherche à partir de la décomposition



1	2	3	1	3	2	2	1	3
b	1	1	b	1	1	a	0	1
0	a	1	0	a	0	1	b	1
0	0	a	0	1	a	0	1	a
A			B			C		
2	3	1	3	1	2	3	2	1
a	1	0	a	0	0	a	0	0
0	a	0	1	b	1	1	a	0
1	1	a	1	0	a	1	1	b
D			E			F		

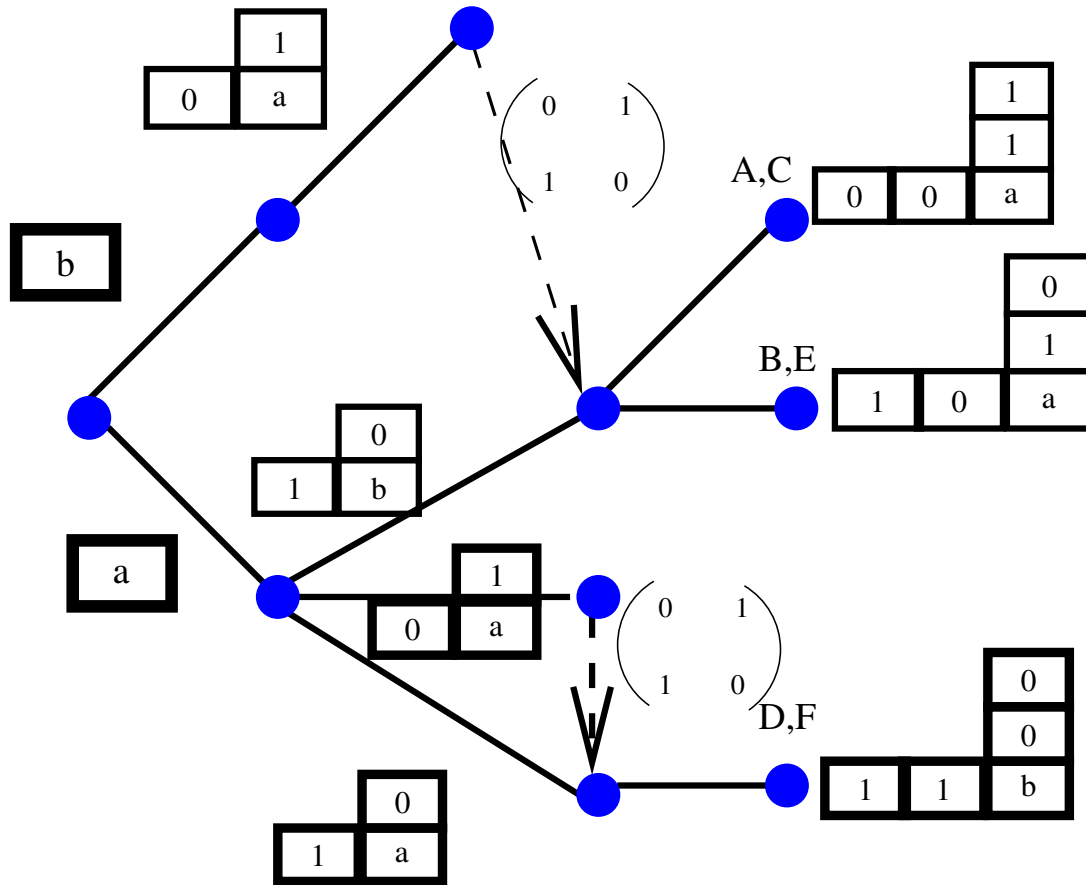


- Créer un arbre contenant tous les modèles.





- Factoriser les branches en utilisant des permutations partielles sur les sommets.



# Bunke : conclusion



## ■ Avantages :

- Décision extrêmement rapide,

## ■ Inconvénients

- Le nombre d'isomorphismes d'un graphe de taille  $n$  est égal à  $n!$  (taille de  $A(G)$ ).
  - Taille de l'arbre :

$$\mathcal{O}(|L_v| (1 + |L_e|^2)^M) \text{ avec } M = \max_i |V_i|$$

## ■ Temps de recherche

$$\mathcal{O}(M^2|L_e| + M|L_v|)$$

## ■ Conclusion

- Méthode réservé à des bases de données de graphes de petites tailles.

# Appariement par représentation de l'espace des



- State Space Representation (SSR).
- Un état : Un appariement partiel.
- Méthode : explorer successivement les différents états.
- Différentiation des méthodes :
  - Passage d'un état à un autre,
  - Méthode pour ne pas boucler (considérer 2 fois le même état),
  - Heuristique pour restreindre l'espace de recherche.

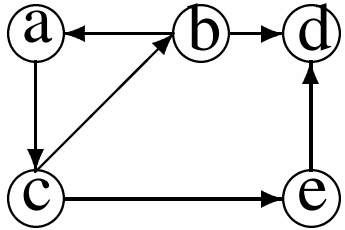
# SSR : Algorithme de Cordella 2001 (VF2)



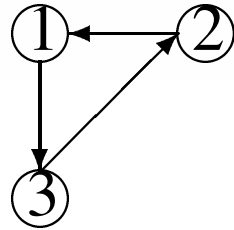
## ■ Notations :

- $G_1 = (V_1, E_1), G_2 = (V_2, E_2)$  les deux graphes *orientés*,
- On cherche soit :
  - un isomorphisme entre  $G_1$  et  $G_2$ ,
  - Soit un isomorphisme de sous graphe entre  $G_2$  et  $G_1$  ( $|V_2| \leq |V_1|$ )
- état  $s$ ,
- $M(s)$  appariement partiel associé à  $s$ ,
- $M_1(s)$  sommets de  $M(s)$  dans  $V_1$ ,
- $M_2(s)$  sommets de  $M(s)$  dans  $V_2$
- $P(s)$  ensemble des couples ( dans  $V_1 \times V_2$ ) candidats à un ajout dans  $s$ ,
- $F(s, n, m)$  l'ajout de  $(n, m)$  à  $s$  définit il un isomorphisme partiel ?
- $T_1^{in}(s)(T_1^{out}(s))$  ensemble des sommets de  $G_1$  prédécesseurs (successeurs) d'un sommet de  $M_1(s)$ .
- $T_2^{in}(s)(T_2^{out}(s))$  ensemble des sommets de  $G_2$  prédécesseurs (successeurs) d'un sommet de  $M_2(s)$ .

# VF2 : Exemple de notations



$G_1$



$G_2$

- $M(s) = (a, 1)$
- $M_1(s) = \{a\}, M_2(s) = \{1\}$
- $T_1^{in}(s) = \{b\}; T_1^{out}(s) = \{c\};$
- $T_2^{in}(s) = \{2\}; T_2^{out}(s) = \{3\};$

# VF2 : L'algorithme



**procédure** appariement (E s)

**début**

*Remarque* :  $s_0$  entrée initiale telle que  $M(s_0) = \emptyset$

**si**  $M(s)$  contient tous les sommets de  $G_2$  **alors**

**retourner**  $M(s)$

**sinon**

Calculer  $P(s)$

**Pour chaque**  $(n, m)$  **dans**  $P(s)$  **faire**

**si**  $F(s, n, m)$  **alors**

Calculer  $s'$  après ajout de  $(n, m)$  à  $M(s)$   
appariement( $s'$ )

**finsi**

**finpour**

Restauration des structures de données

**finsi**

**fin**



# VF2 : Calcul de $P(s)$



- Si  $T_1^{out}(s)$  et  $T_2^{out}(s)$  non vides

$$P(s) = T_1^{out}(s) \times \{\min T_2^{out}(s)\}$$

min relation d'ordre quelconque.

- Sinon Si  $T_1^{in}(s)$  et  $T_2^{in}(s)$  non vides

$$P(s) = T_1^{in}(s) \times \{\min T_2^{in}(s)\}$$

- Sinon si  $T_1^{in}(s) = T_2^{in}(s) = T_1^{out}(s) = T_2^{out}(s) = \emptyset$

$$P(s) = (V_1 - M_1(s)) \times \{\min(V_2 - M_2(s))\}$$

- Note : Si un des  $T^{in}(s)$  (resp.  $T^{out}(s)$ ) est vide et pas l'autre  $M(s)$  ne peut conduire à un appariement.

# VF2 : Calcul de $F(s, n, m)$



$$F(s, n, m) = R_{pred}(s, n, m) \wedge R_{succ}(s, n, m) \wedge R_{in}(s, n, m) \wedge R_{out}(s, n, m) \wedge R_{new}(s, n, m)$$

- $R_{pred}, R_{succ}$  :  $M(s')$  définit il un appariement ?
- $R_{in}, R_{out}$  : pourra t' on construire un appariement au coup d'après ?
- $R_{new}$  : Pourrais je arriver à un appariement (a terme) ?
  - $R_{pred}(s, m, n)$  : les prédécesseurs correspondent :

$$(\forall n' \in M_1(s) \cap Pred(G_1, n) \exists m' \in Pred(G_2, m) | (n', m') \in M(s)) \wedge (\forall m' \in M_2(s) \cap Pred(G_2, m) \exists n' \in Pred(G_1, n) | (n', m') \in M(s))$$

- $R_{succ}(s, m, n)$  : les successeurs correspondent :

$$(\forall n' \in M_1(s) \cap Succ(G_1, n) \exists m' \in Succ(G_2, m) | (n', m') \in M(s)) \wedge (\forall m' \in M_2(s) \cap Succ(G_2, m) \exists n' \in Succ(G_1, n) | (n', m') \in M(s))$$

# Prédicats $R_{in}$ et $R_{out}$



- Les successeurs (prédécesseurs) de  $n$  et  $m$  doivent être en correspondance localement.

- $R_{in}(s, n, m)$

$$\begin{aligned} & (|T_1^{in}(s) \cap Succ(G_1, n)| \geq |T_2^{in}(s) \cap Succ(G_2, m)|) \wedge \\ & (|T_1^{in}(s) \cap Pred(G_1, n)| \geq |T_2^{in}(s) \cap Pred(G_2, m)|) \end{aligned}$$

- $R_{out}(s, n, m)$

$$\begin{aligned} & (|T_1^{out}(s) \cap Succ(G_1, n)| \geq |T_2^{out}(s) \cap Succ(G_2, m)|) \wedge \\ & (|T_1^{out}(s) \cap Pred(G_1, n)| \geq |T_2^{out}(s) \cap Pred(G_2, m)|) \end{aligned}$$

- Remplacer  $\geq$  par  $=$  pour l'isomorphisme de graphe.

# Prédicat $R_{new}$



- Les successeurs et prédécesseurs doivent se correspondre en dehors des  $M_i(s)$ ,  $T_i^{in}(s)$  et  $T_i^{out}(s)$ ,  $i = 1, 2$ .

- $R_{new}(s, n, m)$

$$(|N_1(s) \cap Succ(G_1, n)| \geq |N_2(s) \cap Succ(G_2, m)|) \wedge$$

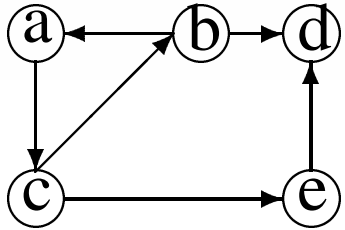
$$(|N_1(s) \cap Pred(G_1, n)| \geq |N_2(s) \cap Pred(G_2, m)|)$$

- avec :

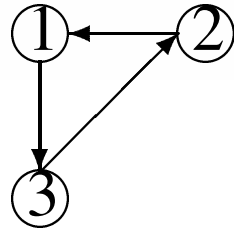
- $N_1(s) = V_1 - M_1(s) - T_1^{in}(s) \cup T_1^{out}(s)$  : tout ce qui reste à voir dans  $G_1$ .

- $N_2(s) = V_2 - M_2(s) - T_2^{in}(s) \cup T_2^{out}(s)$  : tout ce qui reste à voir dans  $G_2$ .

# VF2 : Exemple (1/)



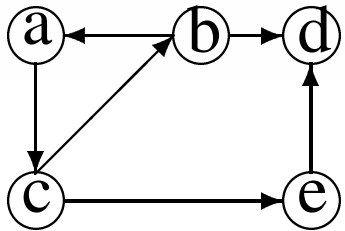
$G_1$



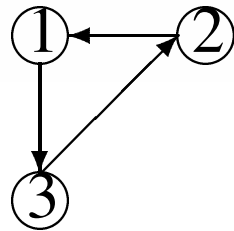
$G_2$

- $M(s) = (a, 1)$
- $M_1(s) = \{a\}, M_2(s) = \{1\}$
- $T_1^{in}(s) = \{b\}; T_1^{out}(s) = \{c\};$
- $T_2^{in}(s) = \{2\}; T_2^{out}(s) = \{3\};$
- $P(s) = (c, 3)$
- $Pred(G_1, c) = \{a\}; Succ(G_1, c) = \{b, e\}$
- $Pred(G_2, 3) = \{1\}; Succ(G_2, 3) = \{2\}$
- $F(s, c, 3) = vrai.$

# VF2 : Exemple



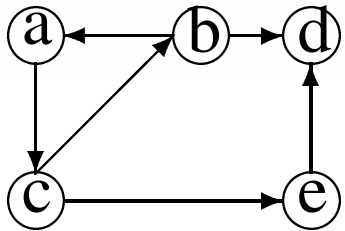
$G_1$



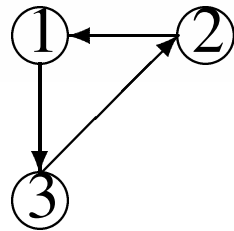
$G_2$

- $M(s') = \{(a, 1), (c, 3)\}$
- $M_1(s') = \{a, c\}, M_2(s) = \{1, 3\}$
- $T_1^{in}(s) = \{b\}; T_1^{out}(s) = \{b, e\};$
- $T_2^{in}(s) = \{2\}; T_2^{out}(s) = \{2\};$
- $P(s) = (b, 2), (e, 2)$
- $Pred(G_1, e) = \{c\}; Succ(G_1, e) = \{d\}$
- $Pred(G_2, 2) = \{3\}; Succ(G_2, 2) = \{1\}$
- $(e, 2)$  viole le prédicat  $R_{succ}(s', e, 2)$ . De fait :
  - $1 \in M_2(s) \cap Succ(G_2, 2)$  or  $Succ(G_1, e) \cap M_1(s) = \emptyset$

# VF2 : Exemple



$G_1$



$G_2$

- On arrive donc à l'appariement :  $M(s'') = \{(a, 1), (c, 3), (b, 2)\}$  et l'on a terminé puisque l'on couvre tous les sommets de  $G_2$ .

# VF2 : Conclusion



- Complexité : ( $N = |V_1| + |V_2|$ )

Complexité	VF2		Ullman	
	au mieux	au pire	au mieux	au pire
Temps	$\mathcal{O}(N^2)$	$\mathcal{O}(N!N)$	$\mathcal{O}(N^3)$	$\mathcal{O}(N!N^2)$
Espace	$\mathcal{O}(N)$	$\mathcal{O}(N)$	$\mathcal{O}(N^3)$	$\mathcal{O}(N^3)$

- Utilisable pour de gros graphes (jusqu'à 1000 sommets).



# Problèmes de sous graphes communs



- Liens entre les isomorphismes de sous graphes et les sous graphes communs
  - Étant donné deux graphes  $G_1$  et  $G_2$ ,  $G$  est un sous graphe commun de  $G_1$  et  $G_2$  ssi il existe :
    - $G \xrightarrow{\varphi} G_1$
    - $G \xrightarrow{\psi} G_2$ $\varphi, \psi$  isomorphismes de sous graphes.
- $G$  est maximum (maximal) si on ne peut trouver de sous graphe de cardinal supérieur (incluant  $G$ ).
- Première idée : utiliser un algorithme SSR (VF2,McGregor).

# Utilisation d'algorithmes SSR



**procédure** appariement ( $E\ s$ )

**début**

*Remarque* :  $s_0$  entrée initiale telle que  $M(s_0) = MCS = \emptyset$

**si**  $M(s)$  contient tous les sommets de  $G_2$  **alors**

**retourner**  $M(s)$

**sinon**

Calculer  $P(s)$

**Pour chaque**  $(n, m)$  **dans**  $P(s)$  **faire**

**si**  $F(s, n, m)$  **alors**

Calculer  $s'$  après ajout de  $(n, m)$  à  $M(s)$

**si**  $\text{taille}(M(s')) > \text{tailleMax}$  **alors**

$\text{tailleMax} \leftarrow \text{taille}(M(s'))$

$MCS \leftarrow M(s')$

**finsi**

appariement( $s'$ )

**finsi**

# Graphe d'association



- Soient  $G_1 = (V_1, E_1)$  et  $G_2 = (V_2, E_2)$ , le graphe d'association  $G = (V, E)$  de  $G_1$  et  $G_2$  est défini par :

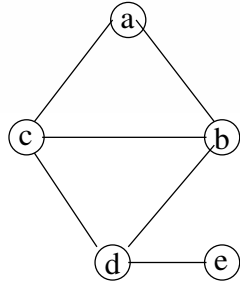
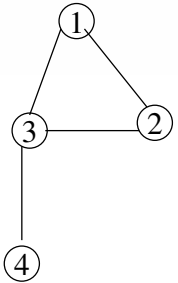
- Sommets :

$$V = V_1 \times V_2$$

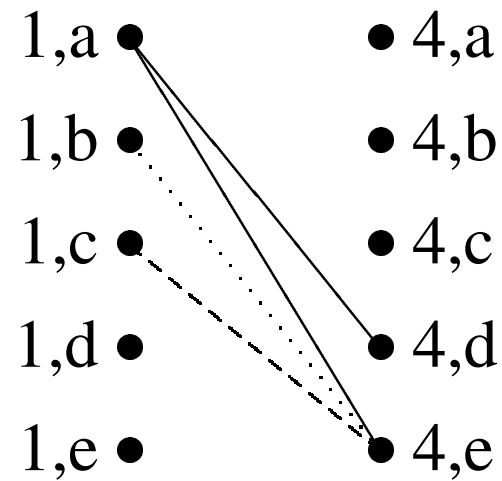
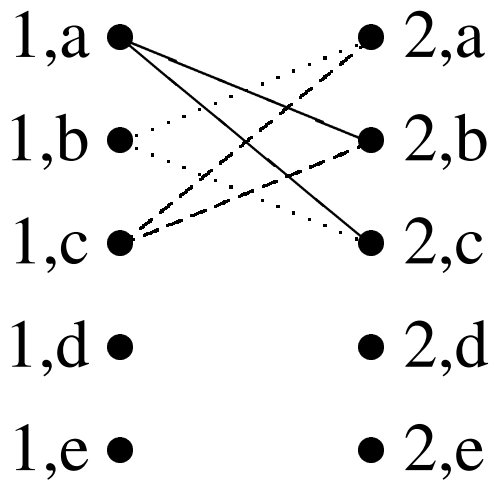
- Arêtes :

$$E = \{((i, h), (j, k)) \in V \times V \mid i \neq j, h \neq k \text{ et } (i, j) \in E_1 \Leftrightarrow (h, k) \in E_2\}$$

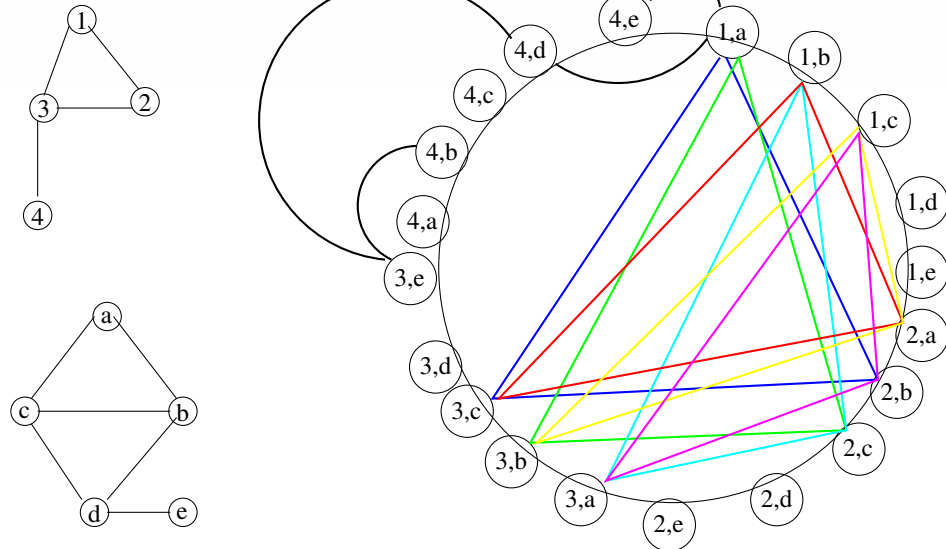
# Graphe d'association : Exemple



mais également



# Graphe d'association : Exemple



- Le sous graphe de  $G$  restreint à  $\{(1, a), (2, b), (3, c)\}$  est complet (lignes bleu).
- Tous les appariements sont compatibles.

# MCS et clique



- Un sous graphe complet d'un graphe  $G$  est appelé un **clique** de  $G$ .
- On parle de clique maximal (resp. maximum).
- Le clique-number de  $G$ ,  $\omega(G)$  est la taille (en nombre de sommets) du clique maximum.
- Théorème :  
*Soient  $G_1$  et  $G_2$  deux graphes et  $G$  leurs graphe d'association. Il existe une relation bijective entre*
  - *les cliques maximal (maximum) de  $G$  et*
  - *les sous graphes communs maximal (maximum) de  $G_1$  et  $G_2$ .*
- Donc : Calculer les cliques du graphe d'association  $G$  est **équivalent** à calculer les sous graphes communs de  $G_1$  et  $G_2$ .

# L'algorithme de DurandParisi (1999)



**procédure** durandParisi (E s)

**début**

**tant que** nextNode(s,n) **faire**

**si** isLegalNode(s,n) et non pruningCondition(s) **alors**

s' ← addNode(s,n)

**si** taille(s') > tailleMax **alors**

MCS ← M(s')

tailleMax ← taille

**finsi**

**si** non leafOfSearchTree(s') **alors**

durandParisi(s')

**finsi**

backtrack(s')

**finsi**

**fintantque**

**fin**

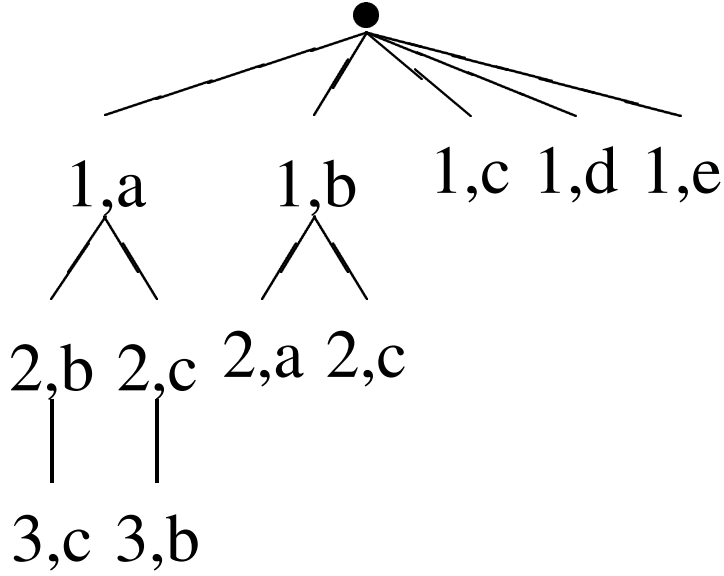
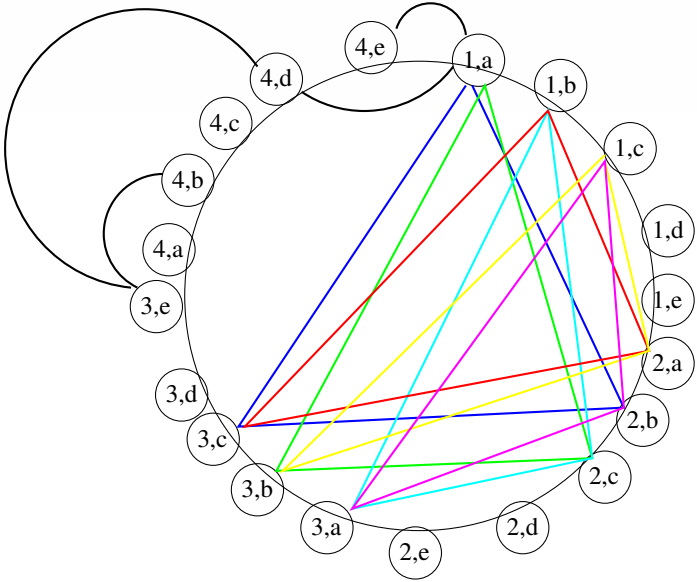
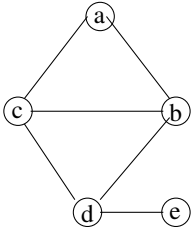
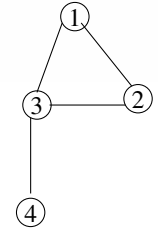
# DurandParisi : Remarques



- Au niveau  $k$  on considère les sommets  $n = (k, n_2)$  de façon à garantir que l'on ne bouclera pas.
- Si un sommet  $k \in G_1$  ne peut pas être apparié dans  $G_2$ , on ajoute le sommet spécial  $\emptyset$  et on continue la recherche au niveau  $k + 1$ .



# DurandParisi : Exemple d'exécution



# DurandParisi : Conclusion

---



- Très similaire au VF2.
- Différence sur l'utilisation du clique.
  - 😊 On ne calcule presque rien,
  - ☹️ On stocke énormément de choses (le graphe d'association).

# Les algorithmes $SM^i, i = 1, 2$



- Basés sur un pré-calcul de tous les cliques de taille  $i$ .
  - $i = 1$  : sommets,
  - $i = 2$  couples de sommets.
- Notations :
  - Voisinage :

$$N_j = \{k \in V \mid (j, k) \in E\}$$

- Candidats à l'adjonction au clique  $K$  :

$$C_0(K) = \{j \in V - K \mid \forall k \in K (j, k) \in E\} = \bigcap_{k \in K} N_k$$

# $SM^i$ : L'algorithme



**procédure**  $SM^i$  ( E G )

**Déclaration** Q : cliques de cardinal

i,

$\mathcal{K}, K^*, \max$

**début**

$\mathcal{K} \leftarrow \emptyset ; K^* \leftarrow \emptyset ; \max \leftarrow 0$

**tant que** Q  $\neq \emptyset$  **faire**

H  $\leftarrow$  pop(Q)

K  $\leftarrow$  H

**tant que**  $C_0(K) \neq \emptyset$  **faire**

l  $\leftarrow$

$\arg \max_{j \in C_0(K)} |C_0(K) \cap N_j|$

K  $\leftarrow$  K  $\cup$  {l}

**fintantque**

$\mathcal{K} \leftarrow \mathcal{K} \cup K$

**si**  $|K| > \max$  **alors**

$\max \leftarrow |K|$

$K^* \leftarrow K$

**finsi**

**fintantque**

**fin**

# $SM^i$ : Commentaires



- Essaye de construire autant de cliques maximal que de cliques initiaux de taille  $i$ .
- Converge pour chaque clique initial vers un optimum local.
- $SM^2$  plus efficace mais plus lent que  $SM^1$ .
- $SM^1\_SWAP$  compromis entre  $SM^1$  et  $SM^2$ 
  - But : Essayer d'explorer autour des optimums locaux.

# $SM^1\_SWAP$ : Notations



- Candidats à un échange :

$$C_1(K) = \{j \in V - K \mid |N_j \cap K| = |K| - 1\}$$

- $j \in C_1(K)$  ssi un seul sommet de  $K$  lui interdi d'entrer dans le clique.
- Soient  $l \in C_1(K)$  et  $k_l \in K$  tel que  $(l, k_l) \notin E$ . Si on ajoute  $l$  à  $K$ , il faut enlever  $k_l$ .

$$K = K \cup \{l\} - \{k_l\}$$

# $SM^1\_SWAP$ : Choix du sommet à ajouter

$$l = \arg \max_{j \in C_0(K)} |C_0(K) \cap N_j| \text{ ou } l = \arg \max_{j \in C_0(K) \cup C_1(K)} |C_0(K) \cap N_j| ?$$

- Le choix d'un sommet dans  $C_1(K)$  permet de s'écartier de l'optimum local mais :
  - ce choix n'améliore pas nécessairement l'optimum,
  - ne nous rapproche pas nécessairement de la convergence,
  - peut nous amener à boucler.
- On se restreint à  $C_0(K)$  :
  - durant un nombre fixe d'itérations ( $START\_SWAP$ ),
  - Lorsque le nombre d'échanges est supérieur à un multiple  $T$  de  $|K|$ ,
  - lorsque le sommet sélectionné est celui supprimé par le dernier échange.

# $SM^1\_SWAP$ : algorithme de choix



**fonction**  $\text{select}(G, K, \text{last\_swap})$  : Sommet

**Déclaration**  $l$  : Sommet

**début**

**si**  $n\_swap \leq T|K|$  et  $|K| \geq \text{START\_SWAP}$  **alors**

$l \leftarrow \arg \max_{j \in C_0(K) \cup C_1(K)} |C_0(K) \cap N_j|$

**si**  $l = \text{last\_swap}$  **alors**

$l \leftarrow \arg \max_{j \in C_0(K)} |C_0(K) \cap N_j|$

**finsi**

**sinon**

$l \leftarrow \arg \max_{j \in C_0(K)} |C_0(K) \cap N_j|$

**finsi**

**retourner**  $l$

**fin**

■ On suppose que  $\arg \max_{j \in C}$  renvoi  $\emptyset$  si  $C$  est vide.



# $SM^1\_SWAP$ : L'algorithme



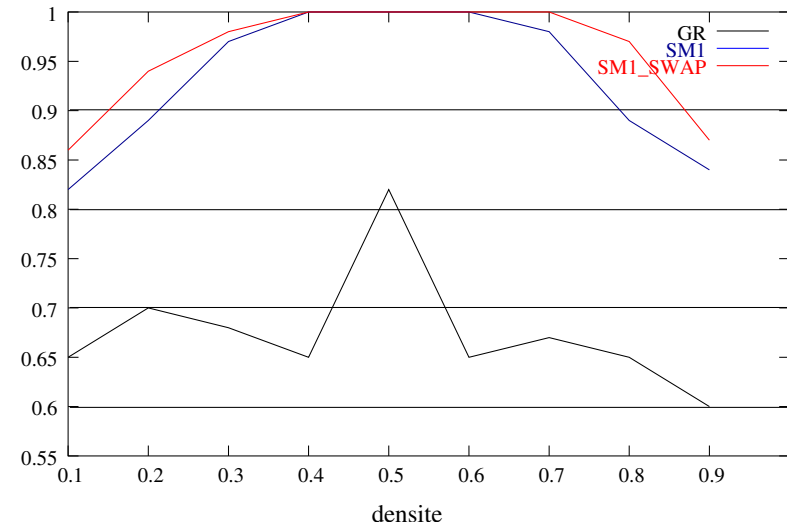
**procédure**  $SM^1\_SWAP$  ( **E**  
 $G = (V, E)$  )  
**Déclaration**  $\mathcal{K}, K^*, W, \max, W$   
**début**  
 $\mathcal{K} \leftarrow \emptyset ; K^* \leftarrow \emptyset ; \max \leftarrow 0 ; W \leftarrow V$   
**tant que**  $W \neq \emptyset$  **faire**  
   $h \leftarrow \text{pop}(W)$   
   $K \leftarrow \{h\}$   
   $n\_swap \leftarrow 0 ; last\_swap \leftarrow \emptyset$   
   $l \leftarrow \text{select}(G, K, last\_swap)$   
  **tant que**  $l \neq \emptyset$  **faire**  
    **si**  $l \in C_0(K)$  **alors**  
       $K \leftarrow K \cup \{l\}$   
    **sinon**

$n\_swap \leftarrow n\_swap + 1$   
     $last\_swap \leftarrow k_l$   
     $K \leftarrow K \cup \{l\} - \{k_l\}$   
     $\text{push}(W, k_l)$   
  **finsi**  
   $l \leftarrow \text{select}(G, K, last\_swap)$   
**fintantque**  
 $\mathcal{K} \leftarrow \mathcal{K} \cup \{K\}$   
**si**  $|\mathcal{K}| > \max$  **alors**  
   $\max \leftarrow |\mathcal{K}|$   
   $K^* \leftarrow K$   
**finsi**  
**fintantque**  
**fin**

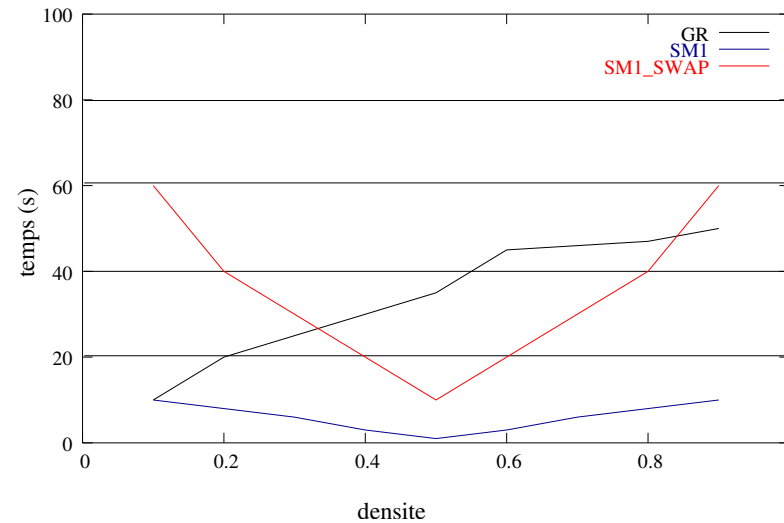
# $SM^1\_SWAP$ : Performances



■ taille clique/ taille max :  $\frac{|K|}{\omega(G)}$



■ Temps de calculs en secondes :



# Méthode par optimisation

---



1. Représenter le graphe par une matrice,
2. Transformer le problème de graphe en un problème de maximisation/minimisation d'une expression (en utilisant la matrice),
3. Choisir une méthode d'optimisation

# Vecteur caractéristique



- On considère  $G = (V, E)$  et  $C \subset V$  et  $|V| = n$
- Vecteur caractéristique de  $C$  :

$$x^C = \begin{pmatrix} x_1 \\ \vdots \\ x_n \end{pmatrix} \text{ avec } x_i = \begin{cases} \frac{1}{|C|} & \text{si } i \in C \\ 0 & \text{sinon} \end{cases}$$

- Tout vecteur caractéristique appartient au simplexe de dim  $n$  :

$$\forall C \subset V \quad x^C \in S_n = \{x \in \mathbf{R}^n \mid e^t x = 1 \text{ et } \forall i \in \{1, \dots, n\} x_i \geq 0\}$$

# Fonction quadratique



- Soit  $A_G = (a_{i,j})$  la matrice d'adjacence d'une graphe  $G$  :

$$a_{i,j} = \begin{cases} 1 & \text{si } (i,j) \in E, \\ 0 & \text{sinon.} \end{cases}$$

- et la fonction :

$$g(x) = x^t A_G x + \frac{1}{2} x^t x = x^t A x \text{ avec } \begin{cases} A = A_G + \frac{1}{2} I \\ x \in S_n \end{cases}$$

- $x^*$  est un maxima strict de  $g$  ssi :

$$\exists \epsilon > 0 \mid \begin{cases} |y - x^*| < \epsilon & \Rightarrow f(y) \leq f(x^*) \\ |y - x^*| < \epsilon \text{ et } f(y) = f(x^*) & \Rightarrow y = x^* \end{cases}$$

# Théorème de Motzkin-Straus(65)-Bomze(97)



■ Théorème : Soit  $S \subset V$  et  $x^S$  son vecteur caractéristique alors :

1.  $S$  est un clique maximum de  $G$  ssi  $x^S$  est un maximum global de  $g$  sur  $S_n$ .

On a alors :

$$\omega(G) = \frac{1}{2(1 - g(x^S))}$$

2.  $S$  est un clique maximal de  $G$  ssi  $x^S$  est un maximum local de  $g$  sur  $S_n$ .

3. Tout maxima local (et donc global)  $x$  de  $g$  sur  $S_n$  est strict et de la forme  $x = x^S$  avec  $S \subset V$ .

# Application à la reconnaissance d'objets



- Représenter chaque objet par un schock tree  $A = (V, E)$ 
  - Un arbre enraciné représentant le squelette
  - Feuilles : détails de l'objet
- Chemin entre deux sommets unique :

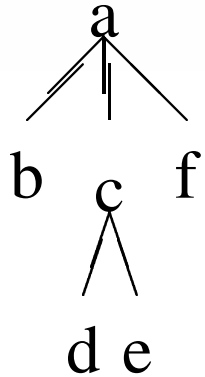
$$\forall (u, v) \in V^2 \exists ! P = x_0, \dots, x_n \text{ avec } x_0 = u, x_n = v$$

$$\forall i \in \{1, \dots, n\} \text{niveau}(x_i) = \text{niveau}(x_{i-1}) \pm 1$$

- Chaîne entre sommets :

$$\text{Str}(u, v) = s_1, \dots, s_n \text{ avec } s_i = \text{niveau}(x_i) - \text{niveau}(x_{i-1}) \in \{-1, 1\}$$

# Graphe d'association



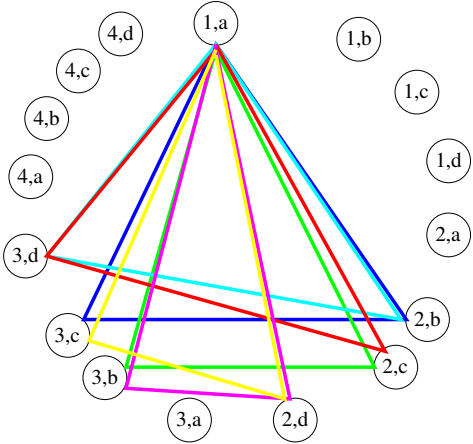
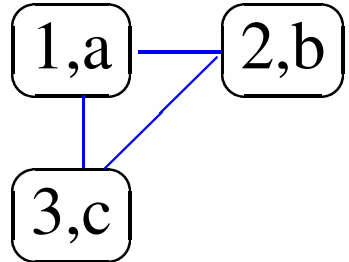
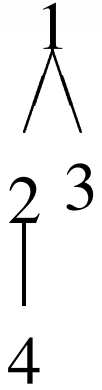
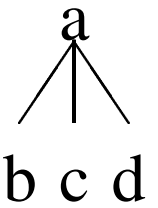
$$\text{str}(b, e) = 1. - 1. - 1$$

- Soient  $A_1 = (V_1, E_1)$  et  $A_2 = (V_2, E_2)$ .
- On construit le graphe d'association  $G = (V_1 \times V_2, E)$  avec :

$$((u, w), (v, z)) \in E \Leftrightarrow \text{Str}(u, v) = \text{Str}(w, z)$$



# Graphe d'association : Exemple



# Résolution



- Recherche des maxima de

$$g(x) = x^t Ax \text{ avec } A = A_G + \frac{1}{2}I$$

- Équations de replication :

$$x_i(t + 1) = x_i(t) \frac{(Ax(t))_i}{g(x)} \text{ note } \sum_{i=1}^n x_i(t) = \frac{g(x)}{g(x)} = 1$$

- Converge vers un point stationnaire ( $x_i(t + 1) = x_i(t)$ ).

# Gibbons, Bomze (97)



- Soit la matrice  $A_{\overline{G}} = (\overline{a}_{ij})$  avec  $\overline{a}_{i,j} = 1$  si  $(i, j) \notin E$ , 0 sinon.

$$A_{\overline{G}} = ee^t - A_G - I$$

- Transformation du problème :

$$\begin{aligned} f(x) &= x^t \overline{A} x = x^t \left( A_{\overline{G}} + \frac{1}{2} I \right) x \\ &= x^t \left( ee^t - A_G - I + \frac{1}{2} I \right) x \\ &= x^t \left[ ee^t - \left( A_G + \frac{1}{2} I \right) \right] x \\ &= x^t ee^t x - x^t \left( A_G + \frac{1}{2} I \right) x \\ &= 1 - g(x) \end{aligned}$$

# Théorème de Gibbons, Bomze(97)



■ Théorème : Soit  $S \subset V$  et  $x^S$  son vecteur caractéristique alors :

1.  $S$  est un clique maximum de  $G$  ssi  $x^S$  est un minimum global de  $f$  sur  $S_n$ .

On a alors :

$$\omega(G) = \frac{1}{2f(x^*)}$$

2.  $S$  est un clique maximal de  $G$  ssi  $x^S$  est un minimum local de  $f$  sur  $S_n$ .

3. Tout minimum local (et donc global)  $x$  de  $g$  sur  $S_n$  est strict et de la forme  $x = x^S$  avec  $S \subset V$ .

# Intuition du théorème (1/2)



## ■ Formulation du problème

$$\begin{aligned} f(x) &= x^t \bar{A} x = x^t (A_{\bar{G}} + \frac{1}{2} I) x \\ &= \sum_{i=1}^n \frac{1}{2} x_i^2 + \sum_{j|(i,j) \notin E} x_i x_j \end{aligned}$$

## ■ Pour $x^C$ vecteur caractéristique de $C \subset V$ :

$$\begin{aligned} f(x^C) &= \frac{|C|}{2|C|^2} + \sum_{i=1}^n \sum_{j|(i,j) \notin E} x_i^C x_j^C \\ &= \frac{1}{2|C|} + \sum \sum_{(i,j) \in C^2 | (i,j) \notin E} x_i^C x_j^C \end{aligned}$$

Si  $C$  est un clique :

$$f(x) = \frac{1}{2|C|}$$

## ■ Plus $C$ est «grand» plus, $f(x)$ est «petit».

# Intuition du théorème (2/2)



- Supposons que l'on ajoute à  $C$  un sommet qui est adjacents à tous les sommets de  $C$  sauf 1.
- Soit  $x^{C'}$  le vecteur résultant :

$$\begin{aligned} f(x^{C'}) &= \frac{1}{2|C|} + \sum \sum_{(i,j) \in C'^2 | (i,j) \notin E} x_i^{C'} x_j^{C'} \\ &= \frac{1}{2(|C|+1)} + \frac{1}{(|C|+1)^2} \end{aligned}$$

- $f(x^{C'})$  est il plus grand ou plus petit que  $f(x^C)$  ?

$$\begin{aligned} \frac{1}{2(|C|+1)} + \frac{1}{(|C|+1)^2} &> \frac{1}{2|C|} \\ &\Leftrightarrow \\ |C| + 1 + 2 &> \frac{(|C|+1)^2}{|C|} = |C| + 2 + \frac{1}{|C|} \\ &\Leftrightarrow \\ 3 &> 2 + \frac{1}{|C|} \end{aligned}$$

# Intérêt de la reformulation



- Application aux graphes valués.
- Clique maximum :

$$\omega(G) = \max\{|S| \text{ tel que } S \text{ est un clique de } G\}$$

- Clique maximum pondéré.
  - Soit un vecteur de poids :  $w \in \mathbf{R}^n$

$$\omega(G, w) = \max\{W(S) \text{ tel que } S \text{ est un clique de } G\}$$

avec

$$W(S) = \sum_{i \in S} w_i$$

# Cliques pondérés



Les cliques de poids maximal (resp. maximum) correspondent aux minimums locaux (resp. global) de :

$$f(x) = x^t C(w) x$$

avec

$$C(w)_{i,j} = \begin{cases} \frac{1}{2w_i} & \text{si } i = j \\ \frac{1}{2w_i} + \frac{1}{2w_j} & \text{si } i \neq j \text{ et } (i, j) \notin E \\ 0 & \text{sinon} \end{cases}$$

- Possibilité de fournir des informations a priori !
  - distance entre points,
  - similarité de régions...



# Résolution



- Le problème : minimiser sur  $S_n$

$$f(x) = x^t Ax$$

- Formulation en terme de «Linear Complementarity Problem» (LCP)

- Trouver  $y, \bar{x}$  tels que :  $y = q_G + M_G \bar{x} \geq 0, \bar{x} = [x, x_{n+1}, x_{n+2}]$ ,

$$q_G = \begin{pmatrix} 0 \\ \vdots \\ 0 \\ -1 \\ 1 \end{pmatrix} \text{ et } M_G = \begin{pmatrix} A & -e & e \\ e^t & 0 & 0 \\ -e^t & 0 & 0 \end{pmatrix}$$

# Résolution : Remarques

---



- LCP : Méthode itérative basée sur le choix d'un pivot à chaque étape.
- Locatelli & Pellilo ont proposé une heuristique de choix des pivots → algorithme PBH.
- Algorithme PBH formellement équivalent à l'algorithme  $SM^1$ .

# Utilisation de méthodes de SoftAssign



- On considère deux graphes  $G$  et  $g$  avec des arêtes valuées.
  - $G_{a,b}$  poids de l'arête  $(a, b)$  dans  $G$
  - $g_{i,j}$  poids de l'arête  $(i, j)$  dans  $g$
- On considère :
  - Une matrice de permutation  $M$  ( $M_{a,i} = 1$ ) si  $a$  est associé à  $i$ , 0 sinon.
  - Une fonction de distance entre les attributs des arêtes :

$$C_{a,b,i,j} = \begin{cases} 0 & \text{Si } G_{a,b} \text{ ou } g_{i,j} \text{ est null} \\ c(G_{a,b}, g_{i,j}) & \text{sinon} \end{cases}$$

avec (par exemple) :

$$c(G_{a,b}, g_{i,j}) = 1 - 3|G_{a,b} - g_{i,j}|$$

# SoftAssign : Le problème



- On voudrait minimiser :

$$E_{wg}(M) = -\frac{1}{2} \sum_{a=1}^A \sum_{i=1}^I \sum_{b=1}^A \sum_{j=1}^I M_{a,i} M_{b,j} C_{a,i,b,j}$$

avec  $A$  (resp.  $I$ ) nb sommets dans  $G$  (resp.  $g$ ).

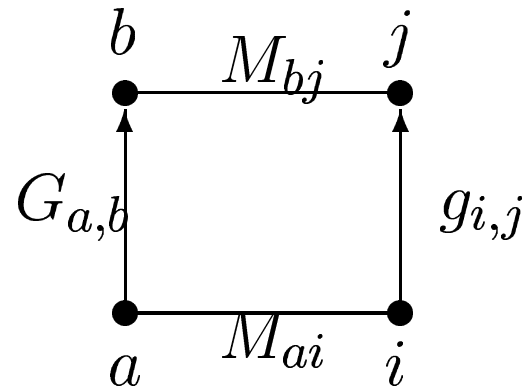
- i.e. apparier un maximum d'arêtes qui se ressemblent.
- Si  $G_{a,b}, g_{i,j} \in \{1, NULL\}$ ,  $C_{a,b,i,j} \in \{0, 1\}$  et

$$E_{wg}(M) = -\frac{1}{2} \sum_{a=1}^A \sum_{i=1}^I \sum_{b=1}^A \sum_{j=1}^I M_{a,i} M_{b,j} G_{a,b} g_{i,j}$$

# SoftAssign : Illustration



- Ce que l'on cherche.



# SoftAssign : Introduction



- Soit le problème restreint : Étant donné  $\{X_1, \dots, X_n\}$  déterminer  $\{m_1, \dots, m_n\}$  tel que
  - $m_i = 1$  si  $X_i = \max_j X_j$ ,
  - 0 sinon
- équivalent à maximiser  $\sum_{i=1}^n m_i X_i$
- On pose pour  $\beta > 0$  :

$$m_j(\beta) = \frac{e^{\beta X_j}}{\sum_{i=1}^n e^{\beta X_i}}; \quad \lim_{\beta \rightarrow +\infty} m_j(\beta) = \begin{cases} 1 & \text{si } X_j = \max X_i \\ 0 & \text{sinon} \end{cases}$$

# SoftAssign : Algorithme 1



**procédure** softassign1 ( $\{X_1, \dots, X_n\}$ )

**Déclaration**  $\{m_1, \dots, m_n\}$

**début**

$\beta \leftarrow \beta_0$

**tant que**  $\beta < \beta_f$  **faire**

$m_i \leftarrow e^{\beta X_j}$

$m_i \leftarrow \frac{m_i}{\sum_{i=1}^n m_i}$

Faire le reste de l'algorithme

Incrémenter  $\beta$

**fin tant que**

**fin**

- On décide petit à petit (d'où le nom soft assign)

# SoftAssign : Introduction 2



- Soit à présent une matrice de permutation  $M$ , entre deux graphes  $G$  et  $g$  et une variable  $X_{a,i}$ .
- Maximiser en  $M$  :

$$E_{ass}(M) = \sum_{a=1}^A \sum_{i=1}^I M_{a,i} X_{a,i}$$

- On a plus une contrainte ( $\sum_{i=1}^n m_i = 1$ ) mais deux :
  - $\forall a \in \{1, \dots, A\} \sum_{i=1}^I M_{a,i} = 1$
  - $\forall i \in \{1, \dots, I\} \sum_{a=1}^A M_{a,i} = 1$



# SoftAssign : Algorithme 2



- On normalise itérativement sur les lignes et les colonnes  $\approx$  on applique l'algorithme 1 sur les lignes puis sur les colonnes.

**procédure** softassign2 ( $X_{ai}$ )

**Déclaration**  $M$

**début**

$\beta \leftarrow \beta_0$

**tant que**  $\beta < \beta_f$  **faire**

$M_{a,i} \leftarrow e^{\beta X_{ai}}$

**répéter**

$$M_{a,i} \leftarrow \frac{M_{a,i}}{\sum_{j=1}^I M_{a,j}}$$

$$M_{a,i} \leftarrow \frac{M_{a,i}}{\sum_{x=1}^A M_{x,i}}$$

**jusqu'à ce que**  $M$  converge

Faire le reste

Incrémenter  $\beta$

**fin tant que**

**fin**

- $M$  converge vers une matrice de permutation.

# SoftAssign : Vers la solution (1/2)



- Problème : L'appariement n'est pas une recherche de max.

$$\arg \max \sum_{a=1}^A \sum_{i=1}^I M_{a,i} X_{a,i} \neq \arg \min -\frac{1}{2} \sum_{a=1}^A \sum_{i=1}^I \sum_{b=1}^A \sum_{j=1}^I M_{a,i} M_{b,j} C_{a,i,b,j}$$

- Considérons  $E_{wg}(M) = -\frac{1}{2} \sum_{a=1}^A \sum_{i=1}^I \sum_{b=1}^A \sum_{j=1}^I M_{a,i} M_{b,j} C_{a,i,b,j}$  comme une fonction de  $AI$  variables.
- Appliquons Taylor à l'ordre 1 :

$$E_{wg}(M) \approx E_{wg}(M^0) + \sum_{a=1}^A \sum_{i=1}^I \frac{\partial E_{wg}(M)}{\partial M_{ai}} (M_{a,i} - M_{a,i}^0)$$

# SoftAssign : Vers la solution



■ On a donc

$$\begin{aligned} E_{wg}(M) &= -\frac{1}{2} \sum_{a=1}^A \sum_{i=1}^I \sum_{b=1}^A \sum_{j=1}^I M_{a,i} M_{b,j} C_{a,i,b,j} \\ &\approx E_{wg}(M^0) + \sum_{a=1}^A \sum_{i=1}^I \frac{\partial E_{wg}(M^0)}{\partial M_{a,i}} (M_{a,i} - M_{a,i}^0) \end{aligned}$$

avec :

$$\frac{\partial E_{wg}(M^0)}{\partial M_{a,i}} = - \sum_{b=1}^A \sum_{j=1}^I M_{b,j}^0 C_{a,i,b,j}$$

# SoftAssign : Vers la solution



- Posons  $Q_{a,i} = -\frac{\partial E_{wg}(M^0)}{\partial M_{a,i}}$

- On a :

$$\begin{aligned} E_{wg}(M) &\approx E_{wg}(M^0) - \sum_{a=1}^A \sum_{i=1}^I Q_{ai} (M_{a,i} - M_{a,i}^0) \\ &\approx Cte - \sum_{a=1}^A \sum_{i=1}^I Q_{a,i} M_{a,i} \end{aligned}$$

- Minimiser  $E_{wg}(M)$  revient à maximiser :

$$\sum_{a=1}^A \sum_{i=1}^I Q_{a,i} M_{a,i}$$

Un problème de calcul de max !

# La méthode



1. Choisir une valeur initiale de  $M$
2. Faire une décomposition de Taylor de  $E_{wg}(M)$
3. Faire un softassign correspondant au calcul du max de

$$\sum_{a=1}^A \sum_{i=1}^I Q_{a,i} M_{a,i}$$

4. prendre le  $M$  résultant et boucler en incrémentant  $\beta$

- Remarque : On ajoute une ligne et une colonne à  $M$  pour transformer les inégalités  $\sum_{a=1}^A M_{a,i} \leq 1$  et  $\sum_{i=1}^I M_{a,i} \leq 1$  en égalités  $\rightarrow$  matrice  $\tilde{M}$ .
- Permet de coder les sommets non appariés.

# L'algorithme



procédure apparié ( $G, g, \beta_f, \beta_0$ )

Déclaration  $\beta, M$

début

$$\beta \leftarrow \beta_0$$

$$\tilde{M}_{a,i} \leftarrow 1 + \epsilon$$

tant que  $\beta < \beta_f$  faire

répéter

$$Q_{a,i} \leftarrow -\frac{\partial E_{wg}(M)}{\partial M_{a,i}}$$

$$M_{a,i}^0 \leftarrow e^{\beta Q_{a,i}}$$

répéter

$$\tilde{M}_{a,i}^1 \leftarrow \frac{\tilde{M}_{a,i}^0}{\sum_{i=1}^{I+1} \tilde{M}_{a,i}^0}$$

$$\tilde{M}_{a,i}^0 \leftarrow \frac{\tilde{M}_{a,i}^1}{\sum_{a=1}^{A+1} \tilde{M}_{a,i}^1}$$

jusqu'à ce que  $\tilde{M}$  converge

ou nb iter  $> I_1$

jusqu'à ce que  $M$  converge ou

nb iter  $> I_0$

$$\beta \leftarrow \beta_r \beta$$

fintantque

seuiller  $M_{a,i}$

fin

# Extension aux attributs de sommets



- Intégrer une fonction  $C_{a,i}^{(1)}$  de distance entre sommets

$$E_{arg}(M) = -\frac{1}{2} \sum_{a=1}^A \sum_{i=1}^I \sum_{b=1}^A \sum_{j=1}^I M_{a,i} M_{b,j} C_{a,i,b,j}^{(2)} + \alpha \sum_{a=1}^A \sum_{i=1}^I M_{a,i} C_{a,i}^{(1)}$$

- Reviens à ajouter  $\alpha C_{a,i}^{(1)}$  à  $Q_{a,i}$  dans l'algorithme précédent.